

Journal of Water and Wastewater, Vol. 31, No.5, pp: 58-72

# Synthesis and Characterization of Novel Adsorbent Based on Mesoporous Fibrous Silica ( $KCC^{-1}$ ) for Removal of Heavy Metal from Aqueous Solution via Adsorption Approach

F. Zarei<sup>1</sup>, A. Marjani<sup>2</sup>, A. Hassani Joshaghani<sup>3</sup>

1. PhD Student of Chemistry, Dept. of Chemistry, Arak Branch,  
Islamic Azad University, Arak, Iran
2. Assoc. Prof., Dept. of Chemistry, Arak Branch,  
Islamic Azad University, Arak, Iran  
(Corresponding Author) a-marjani@iau-arak.ac.ir
3. Assist. Prof., Dept. of Chemical Engineering, Arak Branch,  
Islamic Azad University, Arak, Iran

(Received Dec. 7, 2019 Accepted July 18, 2020)

**To cite this article:**

Zarei, F., Marjani, A., Hassani Joshaghani, A. 2020. "Synthesis and characterization of novel adsorbent based on mesoporous fibrous silica ( $KCC^{-1}$ ) for removal of heavy metal from aqueous solution via adsorption approach". Journal of Water and Wastewater, 31(5), 58-72. Doi: 10.22093/wwj.2020.210880.2960. (In Persian)

**Abstract**

Heavy metal pollution in water sources is a great environmental issue worldwide. In this line, Cd(II) is considered to be one of the top toxic heavy metals because it is a threat not only to plants, but also to humans. Accordingly, development of new strategies for removal of Cd(II) is of great importance for scientists. This study could be divided into three overall sections: 1) synthesis and characterization of fibrous mesoporous silica  $KCC^{-1}$ , 2) surface modification and characterization of triamine-functionalized  $KCC^{-1}$  (TA- $KCC^{-1}$ ), 3) investigation of the applicability of TA- $KCC^{-1}$  as an adsorbent for the removal of Cd(II) from aqueous solution via adsorption method. Synthesized materials were analyzed and investigated by FTIR, FESEM, and  $N_2$  adsorption-desorption isotherms. In order to investigate adsorption features and determine the better adsorption capacity for TA- $KCC^{-1}$ , adsorption conditions such as pH, adsorbent dosage, initial concentration of pollutants, and contact time were monitored and optimized. Then, to investigate and predict the adsorption properties and adsorption mechanism of Cd(II) by synthesized TA- $KCC^{-1}$ , various nonlinear kinetic and isotherm models were used. Theoretical parameters obtained from experimental data revealed that the adoption of Cd(II) cations by TA- $KCC^{-1}$  follows the Langmuir isotherm model with the maximum adsorption capacity of 378 mg g<sup>-1</sup> under optimum conditions (pH=7.0; adsorbent dosage=5.0 mg; time=300 min; temperature=298 K). The results of this study showed that the novel adsorbent reported in this study possesses the high potential for adsorptive removal of Cd(II) from aqueous solution. Also, biodegradability, designability, and high adsorption capacity of this adsorbent may be promising for similar research in the field of adsorption pollutants in the future.

**Keywords:** Fibrous Silica  $KCC^{-1}$ , Surface Modification, Adsorption of Toxic Metals, Langmuir Isotherm.

مجله آب و فاضلاب، دوره ۳۱، شماره ۵، صفحه: ۵۸-۷۲

## ستز و شناسایی جاذب نوین بر پایه سیلیکا مزوپور رشتہ‌ای (KCC<sup>-1</sup>) برای حذف فلز سنگین از محلول آبی با رهیافت جذب

فاطمه زارعی<sup>۱</sup>، اعظم مرجانی<sup>۲</sup>، علی حسنی جوشقانی<sup>۳</sup>

- ۱- دانشجوی دکترا، گروه شیمی، واحد اراک،  
دانشگاه آزاد اسلامی، اراک، ایران
- ۲- دانشیار، گروه شیمی، واحد اراک، دانشگاه آزاد اسلامی، اراک، ایران  
(نویسنده مسئول) a-marjani@iau-arak.ac.ir
- ۳- استادیار، گروه مهندسی شیمی، واحد اراک، دانشگاه آزاد اسلامی، اراک، ایران

(دریافت ۹۷/۹/۱۶ پذیرش ۹۹/۴/۲۸)

**برای ارجاع به این مقاله به صورت زیر اقدام بفرمایید:**  
**زارعی، ف.، مرجانی، ا.، حسنی جوشقانی، ع.، ۱۳۹۹، "ستز و شناسایی جاذب نوین بر پایه سیلیکا مزوپور رشتہ‌ای (KCC-1) برای حذف فلز سنگین از محلول آبی با رهیافت جذب" مجله آب و فاضلاب، ۳۱(۵)، ۵۸-۷۲.**  
**Doi: 10.22093/wwj.2020.210880.2960**

### چکیده

آلودگی فلزات سمی در منابع آبی یک نگرانی بزرگ محیط‌یستی در سرتاسر دنیاست. در این میان، کادمیوم به عنوان یکی از سمی‌ترین فلزات سنگین قلمداد می‌شود زیرا آن نه تنها تهدیدی برای گیاهان، بلکه تهدیدی برای انسانهاست. از این‌رو، توسعه روش‌های جدید برای حذف فلز کادمیوم اهمیت زیادی برای پژوهشگران دارد. این پژوهش را می‌توان به طور کلی به سه بخش تقسیم کرد: ۱) ستز و شناسایی مزوپور سیلیکا رشتہ‌ای KCC<sup>-1</sup>، ۲) اصلاح سطح و شناسایی KCC<sup>-1</sup> عامل‌دار شده با گروه‌های تری‌آمین (۳)، TA-KCC<sup>-1</sup> (۳) بررسی عملکرد TA-KCC<sup>-1</sup>-به عنوان جاذب با هدف حذف فلز کادمیوم (Cd) از محیط آبی به روش جذب. مواد ستزشده با آنالیزهای FESEM، FTIR و ایزوترم جذب و اجذب نیتروژن شناسایی و بررسی شدند. به منظور بررسی ویژگی‌های جذبی و تعیین بهترین ظرفیت جذب برای جاذب TA-KCC<sup>-1</sup> شرایط جذبی مانند pH، مقدار جاذب، غلظت اولیه آلاینده، و زمان بررسی و بهینه شد. سپس، به منظور بررسی و پیش‌بینی ویژگی‌های جذبی و مکانیزم جذب این آلاینده توسط جاذب TA-KCC<sup>-1</sup> ستز شده، از مدل‌های غیرخطی سینتیکی و ایزوترمی مختلف استفاده شد. پارامترهای تئوری به دست آمده از داده‌های تجربی نشان دادند که جذب کاتیون (Cd(II)) از مدل سینتیکی شبکه‌درجه دوم و مدل ایزوترمی لانگمیر پیروی می‌کند. در شرایط بهینه زمان = ۳۰۰ دقیقه، دما = ۲۹.۸ درجه کلوین، مقدار جاذب = ۵ میلی‌گرم، pH = ۷ بهینه ظرفیت جذب ۳۷۸ میلی‌گرم بر گرم به دست آمد. نتایج حاصل از این پژوهش نشان داد که جاذب نوین گزارش شده در این کار پژوهشی دارای پتانسیل بالایی به منظور حذف آلاینده فلز سمی (Cd(II)) از محیط‌های آبی است. همچنین، زیست تخریب‌پذیری، طراحی‌پذیری، و ظرفیت جذب بالای این جاذب می‌تواند نویدی برای کارهای پژوهشی مشابه آینده در زمینه حذف دیگر آلاینده‌ها از محیط‌های آبی باشد.

**واژه‌های کلیدی:** سیلیکا رشتہ‌ای KCC<sup>-1</sup>، اصلاح سطح، جذب فلزات سمی، ایزوترم لانگمیر



اخيراً، مواد سنتری متنوعی همچون اکسیدهای لایه مضاعف<sup>۱</sup>، جاذب‌های بر پایه کلیسیوم هیدروکسی آپایتیت<sup>۲</sup>، چارچوب‌های آلی-کوالانسی<sup>۳</sup>، چارچوب‌های آلی-فلزی<sup>۴</sup>، مواد مزوپور کربن<sup>۵</sup>، مواد نانوحفرهای سیلیکایی<sup>۶</sup>، نانوکامپوزیت‌های ماتریکس پلیمری<sup>۷</sup>، کربن نانوتیوب‌ها<sup>۸</sup>، اکسید گرافن و اکسید گرافن کاهش یافته<sup>۹</sup>، زئولیت‌ها<sup>۱۰</sup> و کربن فعال<sup>۱۱</sup> به عنوان جاذب‌هایی برای حذف فلزات سمی از محیط‌های آبی استفاده شدند (Khin et al., 2012; Dinari et al., 2017; Soltani et al., 2019).

از میان آنها، مواد نانوحفرهای سیلیکایی به دلیل ویژگی‌های بی‌نظری خود همچون تخلخل زیاد، اندازه حفرات منظم و یا یکدست، در دسترس بودن مواد اولیه سنتری، سادگی سنتر، قابلیت تنظیم اندازه و شکل حفره، سمی نبودن و زیست تخریب پذیری<sup>۱۲</sup> چارچوب سیلیکایی، سبک بودن و قابلیت اصلاح سطح<sup>۱۳</sup> آنها با تنویر بی‌شماری از گونه‌هایی شیمیایی دلخواه، توجه زیادی را به خود جلب کرده‌اند (Da'na, 2017; Cashin et al., 2018; Mureseanu et al., 2008).

سیلیکا ( $\text{SiO}_2$ ) به دلیل ویژگی‌های عاملی ویژه خود همچون فراوانی زیاد در طبیعت، سمی نبودن و مقاومت فیزیکی-شیمیایی مطلوب یکی از جذاب‌ترین مواد در زمینه‌های علم و تکنولوژی است. تنوع زیادی از مورفولوژی‌ها برای مواد نانوحفرهای سیلیکایی گزارش شده است که شامل ذرات کروی، طنابی شکل، مکعبی، سیمی شکل، ورقه‌ای و استونه‌ای می‌شوند. همچنین، ساختارهای حفره‌ای متفاوتی برای آنها گزارش شده است که از لحاظ نظم ساختاری حفره به سه گروه کلی سیلیکاها نانوحفرهای منظم، نامنظم و شبهمنظم (دارای درجه‌ای از نظم) تقسیم می‌شوند و از

## ۱- مقدمه

در چند دهه اخیر و به خصوص با پیشرفت تکنولوژی و رشد واحدهای تولیدی و کارخانه‌های کلان در سرتاسر دنیا، مواد آلاینده مانند گازهای سمی، مواد ارگانیک (رنگ‌ها، داروها، شوینده‌ها و مواد آرایشی) و فلزات سنگین به‌فور توسط این اماکن تولید و در محیط‌زیست آزاد می‌شوند. متاسفانه این روند با رشد جمعیت و نیاز پیوسته به مصرف‌گرایی بیشتر و بیشتر می‌شود که در نتیجه آن رهاسازی مقدار عظیمی از آلاینده‌ها در محیط‌زیست می‌تواند تهدیدی بزرگ برای سلامت انسان، گیاهان و دیگر جانداران ایجاد کند. در میان آلاینده‌های نامبرده شده، فلزات سنگین سمی سهم عمده‌ای از این آلودگی را به خود اختصاص داده‌اند. فلزات سنگین به‌طور روزانه در مقدار بسیار زیاد توسط کارخانه‌های لاستیک‌سازی، مواد آرایشی، کودسازی، رنگ‌سازی، حشره‌کش‌سازی، صنعت کاغذ، باطری‌سازی، معادن و وارد چرخه آهای سطحی و همچنین آهای زیرزمینی، به خصوص در کشورهای در حال توسعه، می‌شوند (Prabhavathi et al., 2019; Mance, 2012).

برخلاف آلاینده‌های آلی، فلزات سنگین، زیست تخریب‌پذیر نیستند و تمایل زیادی به تجمع یافتن در بافت‌های زیستی نشان می‌دهند و اکثر این فلزات سنگین به عنوان عوامل سمی و سرطان‌زا شناخته شده‌اند (Bolisetty et al., 2019). از این‌رو، رهایش فلزات سمی مانند  $\text{Ti}(\text{I})$ ,  $\text{Mn}(\text{II})$ ,  $\text{Cd}(\text{II})$ ,  $\text{Pb}(\text{II})$ ,  $\text{Cr}(\text{VI})$ ,  $\text{Hg}(\text{II})$  در محیط‌های آبی و حذف این فلزات سنگین از محیط‌های آبی توجه فرایندهای را به خود اختصاص داده است.

از روش‌های معمول حذف فلزات سنگین در آب، اکسیداسیون، شیمیایی، رسوب شیمیایی، تبادل یونی، جذب سطحی، فیلتراسیون، اسمز معکوس، حذف زیستی، استخراج حلال و لخته‌سازی است (Mohan, et al., 1995; Leyva-Ramos, et al., 2006). از میان روش‌های حذف آلاینده‌ها و به خصوص فلزهای سنگین، روش جذب یکی از روش‌های مورد علاقه و کاربردی است. امروزه فرایندهای جذب نقش مهمی در کاربرهای مهندسی، محیط‌زیستی و دارویی ایفا می‌کند. فرایندهای جذب به کلیه مراحلی اطلاق می‌شود که در آن یک آنالیت هدف از محیط گازی یا آبی بر روی سطح یک جاذب می‌نشیند و با سطح جاذب برهم‌کنش برقرار می‌کند (Fu and Wang, 2011).

<sup>1</sup> Layered Double Hydroxides (LDH)

<sup>2</sup> Calcium Hydroxyapatite

<sup>3</sup> Covalent Organic Frameworks (COFs)

<sup>4</sup> Metal Organic Frameworks (MOFs)

<sup>5</sup> Mesoporous Carbon

<sup>6</sup> Nanoporous Silica Materials

<sup>7</sup> Polymer Matrix Nanocomposites (PMNCs)

<sup>8</sup> Carbon Nanotubes (CNTs)

<sup>9</sup> Graphene Oxide (GO) and reduced GO (r-GO)

<sup>10</sup> Zeolite

<sup>11</sup> Activated Carbon (AC)

<sup>12</sup> Biodegradability

<sup>13</sup> Surface Modification



تری آمینی استفاده شد. اصلاح سطح جاذب سیلیکایی به منظور افزایش ظرفیت جذب و بهبود عملکرد جذبی استفاده شد. به منظور بررسی مکانیزم و عملکرد جذبی جاذب سنتز شده نسبت به حذف کاتیون‌های سمتی کادمیوم از معادلات مختلف سینتیکی و ایزوترمی استفاده شد. همچنین آنالیزهای مختلفی با هدف شناسایی ساختار جاذب استفاده شد.

## ۲- مواد و روش‌ها

مواد شیمیایی و معرفه‌های به کار برده شده در این پژوهش عبارت‌اند از: ستیل تری اتیل آمونیوم برومید<sup>۱</sup> درصد، تری اتیل اورتو سیلیکات<sup>۲</sup> درصد، اوره ۹۹/۵ درصد، سیکلوهگزان ۹۹/۹ درصد، ۱-پتانول ۹۸/۵ درصد، سدیم هیدروکسید ۹۷ درصد، هیدروکلریک اسید ۳۷ درصد، تولوئن ۹۹ درصد، اولشیک اسید<sup>۳</sup> ۹۵ درصد (مرک آلمان<sup>۴</sup>). اتانول ۹۶ و ۹۹ درصد و استون اتیل آمینو) (Dr. Mojallali) پتاسیم دی کرومات ۹۹ درصد، ۳-[۲-(آمینو اتیل آمینو] پروپیل-تری متوكسی سیلان ۹۵ درصد (Sigma-Aldrich, Buchs, Switzerland)

### ۲-۱- دستگاه‌های استفاده شده

دستگاه طیف‌سنج مادون قرمز<sup>۵</sup> (FT-IR, Avatar 330, USA) (MIRA3 Czech<sup>۶</sup>) میکروسکوپ الکترونی روبشی نشر میدانی<sup>۷</sup> (Mapping, Czech, MIRA3). آنالیز تصویربرداری (FESEM) (FAAS, A300, USA). تخلخل سنج جذب- واجذب N<sub>2</sub> (BELSORP-mini II, Japan).

### ۲-۲- سنتز نانو ذره KCC<sup>-۱</sup>

KCC<sup>-۱</sup> خالص با روش ساده سُل-ژل در شرایط هیدروترمال درون یک اتوکلاو استنلس استیل حاوی محفظه تفلنی سنتز شد. در این

لحاظ اندازه حفرات نیز به سه دسته کلی میکروپور (میکروحفره، اندازه حفرات کمتر از ۲ نانومتر)، مزوپور (مزوحفره، اندازه حفرات بین ۲ و ۵۰ نانومتر، ماکروپور (ماکروحفره، اندازه حفرات بیشتر از ۵۰ نانومتر) تقسیم‌بندی می‌شوند. در طول دو دهه گذشته، تنوعی از نانو مواد با ویژگی‌های فیزیکی و شیمیایی منحصر به فرد گزارش شده است. اینها مواد سیلیکایی مزوپور هستند که دسته‌ای از مواد نانوتخلخل هستند که دارای ویژگی‌های جالبی مانند تنوع ساختار حفره‌ها، حفره‌ها در اندازه نانو، مساحت سطحی زیاد در واحد جرم و گاهی قابل کنترل بودن شکل و اندازه ذرات هستند (Wu, et al., 2013).

تا به امروز مزوپور سیلیکاها زیادی با فرایندی مشابه سنتز و شناسایی شده‌اند که از آن جمله می‌توان به SBA-16, SBA-15, FDU-12, MCM-48, KIT-5, KIT-6, MCM-48, KIT-6, KIT-5, FDU-12, SBA-16, SBA-15, FDU-12, MCM-48, KIT-6, KIT-5, Touxalی متعدد اشاره کرد. در تمامی این ساختارها، از یک قالب سورفتکتانت آلی، یک منبع سیلیکایی و یک محیط حلالی متفاوت استفاده شده است. در واقع، درست است که روند کلی ساخت MSMS دارای مشابه است اما می‌توان با تغییر شرایط سنتزی همچون نوع و طول زنجیره سورفتکتات، حلال استفاده شده، استفاده از نمک‌ها در فرایند سنتز، دمای فرایند زمان‌دهی، زمان و دمای فرایند هیدروترمال، نحوه خارج کردن قالب سورفتکتانت و همچنین pH محلول، ساختارهای متعددی از حفرات و مورفولوژی‌های گوناگون را به دست آورد (Wu et al., 2013).

پلستوار و همکاران در سال ۲۰۱۰ عضو جدیدی از خانواده MSMS را کشف کردند. همچنین سیلیکا رشتہ‌ای<sup>۸</sup> KCC گزارش شده توسط ایشان مانند تمامی اعضای خانواده MSMS از روش قالب‌گیری با سورفتکتانت و سیمانی از جنس سیلیکا و سپس حذف قالب سنتز شد. KCC<sup>-۱</sup> دارای مساحت سطحی و حجم حفره بالایی بود که برای اولین بار این ویژگی‌ها به دلیل حضور رشتہ‌های سیلیکایی و مزوحفره‌ها و میکروحفره‌های موجود بر روی این رشتہ‌ها بود. پلستوار گزارش کرد که مساحت سطح زیاد این ماده به دلیل وجود رشتہ‌های سیلیکایی دندان‌پری و کانال‌های مرتبط با آنهاست که این به نوبه خود KCC<sup>-۱</sup> را به اولین در نوع خود، مبدّل ساخته است (Polshettiwar, et al., 2010). در این پژوهش به منظور حذف آلاینده کادمیوم از محیط آبی از سیلیکا رشتہ‌ای KCC<sup>-۱</sup> عامل دارشده با عامل سیلانی دارای گروه‌های آلی

<sup>۱</sup> Cetyl Triethyl Ammonium Bromide (CTAB)

<sup>۲</sup> Tetra Ethyl ortho Silicate (TEOS)

<sup>۳</sup> Oleic Acid (OLA)

<sup>۴</sup> Merck

<sup>۵</sup> Chitosan

<sup>۶</sup> Fourier Transform Infrared Spectroscopy (FTIR)

<sup>۷</sup> Field Emission Scanning Electron Microscope (FESEM)



سه بار و در حجم ۵۰ میلی لیتر شستشو داده شد و درون آون الکتریکی در دمای ۳۳۳ درجه سلسیوس به مدت ۲۴ ساعت قرار داده شد. محصول سبک و سفید رنگ حاصل TA-KCC<sup>-۱</sup> نام‌گذاری شد و برای انجام مرحله بعدی درون ظرف استریل شیشه‌ای نگهداری شد.

#### ۴-۲- عملکرد جاذب و فرایند جذب

به منظور تهیه محلول استاندارد (۱۰۰ میلی گرم در لیتر) مقدار مناسب از نمک  $\text{Cd}(\text{NO}_3)_2$  در آب دیونیزه تهیه شد و در دمای ۲۹۸-۲۷۳ درجه سلسیوس درون یخچال نگهداری شد. محلول کاری با مقدار غلظتی دلخواه از کاتیون  $\text{Cd}(\text{II})$  با رقیق‌سازی محلول استاندارد مربوطه به صورت روزانه تهیه شد. تست‌های جذبی در دمای اتاق بر روی شیکر مکانیکی با سرعت ۱۸۰ تا ۲۰۰ دور در دقیقه در بازه‌های زمانی دلخواه با استفاده از لوله‌های آزمایشگاهی پلاستیکی پلی‌اتیلنی درب‌دار در مقیاس آزمایشگاهی انجام شدند. در تمامی آزمایش‌های جذبی، قبل از اضافه کردن جاذب‌ها، مقدار اولیه pH محلول با استفاده از محلول‌های ۰/۱ مولار NaOH و HCl به ترتیب برای مقدار موردنیاز قلیایی و اسیدی تنظیم شدند. پس از رسیدن زمان‌های تماس دلخواه (زمان تماس به مدت زمانی گفته می‌شود که جاذب درون محلول حاوی جذب‌شونده قرار دارد)، برای محلول‌های جذبی با پارامترهای جذبی مختلف شامل pH اولیه، مقدار جاذب، دمای محلول و غلظت اولیه فلز، جاذب توسط دستگاه سانتریفوژ از محلول فلزی جدا شده و مقدار باقی‌مانده از غلظت فلز (II)  $\text{Cd}$  با استفاده از دستگاه جذب اتمی شعله مجهر به لامپ هالوکاتند کادمیوم اندازه‌گیری شد. مقدار درصدی حذف فلز از محلول آبی در حالت تعادل و در هر زمان، به ترتیب، با استفاده از معادله‌های زیر محاسبه می‌شوند

$$\% \text{Removal} = 100 \times [(c_i - c_e)/c_i] \quad (1)$$

$$\% \text{Removal} = 100 \times [(c_i - c_e)/c_t] \quad (2)$$

که در آن

$c_i$  و  $C_e$  به ترتیب غلظت اولیه، غلظت تعادلی و غلظت واپسیه به زمان از فلز کادمیوم برحسب میلی گرم در لیتر هستند.

روش، ترکیبی از اوره (۲/۴ گرم)، و آب دیونیزه (۲۵۰ میلی لیتر) درون محفظه یک لیتری تفلونی بر روی هیتر استییر در دمای اتاق به مدت ۲۰ دقیقه حل و چرخیده شد. سپس مخلوط همگنی از ۱۲/۵ گرم TEOS در ۲۵۰ میلی لیتر سیکلوهگران به صورت قطره قطره در طول ۲۵ دقیقه به آن اضافه شد و بر روی هیتر استییر به مدت ۳۰ دقیقه در دمای اتاق چرخیده شد تا محلول شیری رنگ به دست آید. سپس محفظه تفلونی با درب تفلونی به صورت کاملاً محکم بسته شد و درون محفظه فولادی قرار گرفت و درب آن بسته شد. سیستم اتوکلاو درون آون الکتریکی در دمای ثابت ۳۹۳ درجه سلسیوس به مدت ۸ ساعت قرار گرفت. پس از پایان مدت مقرر، به اتوکلاو اجازه داده شد تا کاملاً خنک شود و دمای آن به دمای محیط برسد. سپس، محصول ژل مانند و سفید رنگ توسط دستگاه سانتریفوژ با دور چرخش ۶۰۰۰ دور در دقیقه جداسازی شد و به منظور جداسازی ناخالصی‌ها و مواد واکنش نداده، با آب و اتانول (هر کدام سه بار در حجم‌های ۵۰ میلی لیتر) شسته شد. محصول به مدت یک شبانه‌روز در دمای ۳۶۳ درجه سلسیوس خشک شد و در نهایت با هدف کلسانیه کردن درون کوره الکتریکی با دمای ۸۲۳ درجه سلسیوس به مدت ۶ ساعت قرار داده شد.<sup>۱</sup> KCC حاصل دارای رنگ سفید با ذرات پودری بسیار سبک درون ظرف استریلیل ذخیره‌سازی شد (Zarei et al. 2019)

#### ۳-۲- تهیه نانوذره عامل دارشده با گروه‌های تری‌آمین (TA-KCC<sup>-۱</sup>)

عامل دارکردن شیمیایی<sup>۱</sup> KCC با عامل کوپل‌کننده سیلانی تری‌آمینی با استفاده از روش پسا-سترنی انجام شد. در این روش، ۲ گرم KCC<sup>-۱</sup> خالص کلسانیه شده به ظرف ۵۰۰ میلی لیتری حاوی ۲۵۰ میلی لیتر حلال تولوئن و به مدت ۱۵ دقیقه تحت تابش امواج التراسونیک قرار گرفت. سپس، مقدار مشخص از عامل کوپل‌کننده سیلانی تری‌آمینی به آن اضافه شد و مخلوط حاصل درون حمام روغن در دمای ۳۹۳ درجه سلسیوس و تحت جو نیتروژن به مدت ۱۲ ساعت رفلaks شد. در نهایت، محصول سفید رنگ درون دستگاه سانتریفوژ ۶۰۰۰ دور در دقیقه از حلال جدا شد و به منظور حذف مواد واکنش نداده سیلانی با حلال‌های آب و اتانول هر کدام



که در آن  $\epsilon = R \cdot T \cdot \ln[1 + (1/C_e) \cdot K_{DR}]$  (kJ mol<sup>-1</sup>) و  $K_{DR}$  (mol<sup>2</sup> kJ<sup>-2</sup>)،  $Q_m$  (mg g<sup>-1</sup>) بترتیب بیانگر بیشترین ظرفیت جذب، ثابت ایزوترم دایینین-راداشکویچ و ثابت پلانی هستند و در آن ثابت پلانی از معادله  $R = 8.314 \text{ J mol}^{-1} \text{ K}^{-1}$  محاسبه می‌شود که  $\epsilon = R \cdot T \cdot \ln[1 + (1/C_e)]$  و  $T(K)$  به ترتیب ثابت جهانی گازها و دما هستند.

$$(R - P) : Q_e = (K_{R-P} \times C_e) / (1 + \alpha_{R-P} \times C_e^g) \quad (8)$$

که در آن

$\alpha_{RP}$  (L mg<sup>-1</sup>) و  $C_e$  (g) ثابت‌های ایزوترمی ردلیچ-پترسون هستند و  $g$  ثابتی بدون واحد است.

ظرفیت‌های جذب برای یون فلزی Cd(II) در مقیاس میلی‌گرم جذب‌شونده در واحد جرم جاذب بر حسب گرم در حالت تعادل ( $Q_e$ ) و در هر زمان ( $Q_t$ ) از معادله‌های زیر به دست می‌آید

$$Q_e = (c_i - c_e) \times (V/W) \quad (3)$$

$$Q_t = (c_i - c_t) \times (V/W) \quad (4)$$

که در آن

$V$  و  $W$  به ترتیب حجم محلول حاوی یون فلزی بر حسب لیتر یا میلی‌لیتر و جرم جاذب بر حسب گرم یا میلی‌گرم هستند.

## ۲-۶- معادلات سینتیکی جذبی

پیش‌بینی مدل‌های سینتیکی برای یک فرایند جذبی احتمالاً مهمترین فاکتور در طراحی فرایند جذب است. تعدادی از مدل‌های سینتیکی برای پیدا کردن توضیح مناسبی از مکانیزم جذبی گونه‌های آلاینده برای سیستم‌های جذبی مایع/جامد تاکنون پیشنهاد شده است، که در این میان، مدل‌های سینتیکی شبهدوجه اول، شبهدوجه دوم، الیچ، و نفوذ بین ذره‌ای بیشترین مدل‌های استفاده شده‌اند. فرم غیرخطی این مدل‌ها در زیر ارائه شده است

معادله شبهدوجه اول

$$(PFO) : Q_t = Q_{e,cal} (1 - \exp(-K_1 \times t)) \quad (9)$$

که در آن  $Q_{e,cal}$  (mg g<sup>-1</sup>) و  $K_1$  (min<sup>-1</sup>) به ترتیب معرف ظرفیت جذب محاسبه شده و ثابت سرعت شبهدوجه اول هستند. این مدل سینتیکی قابل انکاترین و مناسب‌ترین مدل سینتیکی برای پاسخ‌های سریع جذبی یا جذب در مدت زمان بسیار کوتاه است.

معادله شبهدوجه دوم  
(10)

$$(PSO) : Q_t = (K_2 \times Q_{e,cal}^2 \times t) / (1 + K_2 \times Q_{e,cal} \times t)$$

که در آن

۵-۲- معادلات ایزوترم جذبی  
در این پژوهش، مطالعه ایزوترم جذبی برای یون فلزی Cd(II) بر روی جاذب تهیه شده با استفاده از مدل‌های غیرخطی ایزوترمی معروف لانگمیر (L)، فروندلیچ (F)، دایینین-راداشکویچ (D-R) و ردلیچ-پترسون (R-P) انجام شد. معادله  $R - P$  یک معادله سه پارامتری و دیگر معادله‌های به کار گرفته شده، همگی معادله‌های دو پارامتری هستند. فرم غیرخطی معادله‌های ایزوترمی استفاده شده در این پژوهش در زیر آمده شده است

$$(L) : Q_e = (Q_{m,cal} \times K_L \times C_e) / (1 + K_L \times C_e) \quad (5)$$

که در آن

$Q_{m,cal}$  (mg g<sup>-1</sup>) و  $K_L$  (L mg<sup>-1</sup>) به ترتیب بیشترین ظرفیت جذب تئوری و ثابت تعادل لانگمیر هستند

$$(F) : Q_e = K_F \times C_e^{1/n} \quad (6)$$

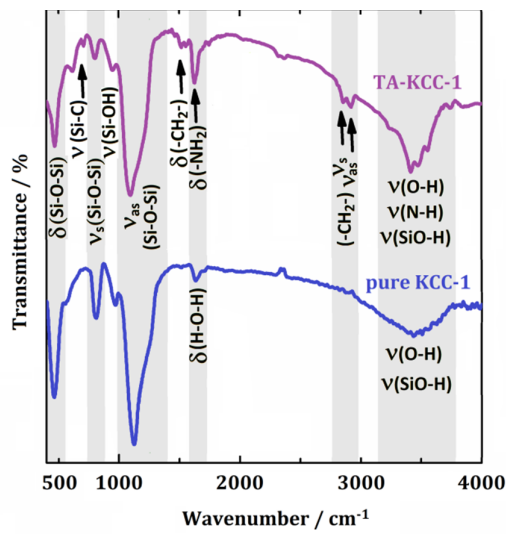
که در آن

$K_F$  (mg g<sup>-1</sup> (mg L<sup>-1</sup>)<sup>-1/n</sup>) و  $n$  (dimensionless) به ترتیب معرف ثابت تعادل فروندلیچ و توان فروندلیچ هستند

$$(D - R) : Q_e = Q_m \times \exp(-K_{DR} \times \epsilon^2) \quad (7)$$



که به ترتیب مربوط به گروههای عاملی شیمیایی (C-H) و (C-H)<sub>as</sub> هستند (ارتعاش‌های کششی متقارن و نامتقارن پیوند کربن-هیدروژن)، که بدلیل حضور گروههای متیلن (-CH<sub>2</sub>-) در ساختار عامل کوپل‌کننده سیلانی تری‌آمینی پیوند خورده بر روی سطح سیلیکاست. همچنین، حضور یک نوار ضعیف مربوط به ارتعاش تغییر شکل گروههای CH<sub>2</sub> در ناحیه ۱۵۰۰ cm<sup>-1</sup> مشاهده شد. در مقایسه با نمونه خالص KCC<sup>-1</sup>، نوار جذبی پهن در ناحیه ۳۲۰۰ cm<sup>-1</sup> تا ۳۱۰۰ cm<sup>-1</sup> مربوط به پیوند هیدروژنی مربوط به ارتعاش‌های کششی گروههای سیلانول (SiO-H) (□)، آمینهای آیافاتیک (N-H) (□) (آمین نوع اول و دوم مربوط به عوامل کوپل کننده سیلانی (TA)، و همچنین، (O-H) (□) مربوط به مولکولهای آب سطحی جذب شده است. حضور نوارهای جذبی ارتعاشی بالا در طیف FTIR نمونه عامل‌دار شده TA-KCC<sup>-1</sup> به خوبی پیوند خوردن گروههای اصلاح سطحی TA بر روی KCC<sup>-1</sup> نشان می‌دهند.



**Fig. 1.** FTIR spectra of KCC<sup>-1</sup> and TA-KCC<sup>-1</sup> samples

شكل ۱- طیف‌های FTIR مربوط به نمونه‌های KCC<sup>-1</sup> خالص و TA-KCC<sup>-1</sup>

### ۳-۲- بررسی نتایج آنالیز ایزوترم‌های جذب-واجدب نیتروژن

شكل ۲ منحنی‌های حاصل از آنالیز جذب-واجدب نیتروژن و ایزوترم‌های مربوط به آن دو را برای دو نمونه KCC<sup>-1</sup> و

که به ترتیب مربوط به گروههای عاملی شیمیایی (C-H)<sub>s</sub> و (C-H)<sub>as</sub> هستند (ارتعاش‌های کششی متقارن و نامتقارن پیوند کربن-هیدروژن)، که به ترتیب معرف ظرفیت جذب محاسبه شده و ثابت سرعت شبه‌درجه دوم هستند.

$$\text{معادله الوجیج} \quad Q_t = [(1/\beta) \times \ln(\alpha \times \beta)] + [(1/\beta) \times \ln t] \quad (11)$$

که در آن  $\alpha$  (mg g<sup>-1</sup> min<sup>-1</sup>) و  $\beta$  (mg g<sup>-1</sup> min<sup>-1</sup>) به ترتیب سرعت جذب اولیه و پارامتر الوجیج (مربوط به مقدار پوشش سطحی و انرژی فعال‌سازی در جذب شیمیایی) هستند.

$$\text{معادله نفوذ بین ذرهای IPD}: Q_t = K_{IPD} 0.5 + C \quad (12)$$

که در آن  $C$  (mg g<sup>-1</sup> min<sup>-0.5</sup>) به ترتیب ثابت سرعت نفوذ بین ذرهای و ثابتی مربوط به ضخامت لایه مرزی جذب هستند.

## ۳- نتایج و بحث

### ۳-۱- بررسی طیف‌های FTIR

به منظور شناسایی گروههای شیمیایی و ساختار پیوندی گروههای موجود در نمونه‌های سنتز شده طیف‌های FTIR نمونه‌ها تهیه، شناسایی و مقایسه شدند. طیف‌های FTIR نمونه‌های خالص و TA-KCC<sup>-1</sup> تعدادی از نوارهای جذبی شاخص را نمایش می‌دهند (شکل ۱). در مورد KCC<sup>-1</sup>، نوار جذبی پهن در اطراف ۳۴۳۰ cm<sup>-1</sup> به ارتعاش کششی پیوندهای هیدروژنی گروههای سیلانول سطحی (SiO-H) (□) مربوط می‌شود. نوار جذبی ضعیف در ۱۶۳۱ cm<sup>-1</sup> به ارتعاش خمی (O-H) (□) مولکولهای آب سطحی مربوط می‌شود. پس از عامل‌دار کردن KCC<sup>-1</sup>، طیف FTIR مربوط به نمونه TA-KCC<sup>-1</sup> تقریباً همان نوارهای جذبی ساختار شبکه سیلیکا را مانند نمونه KCC<sup>-1</sup> نشان می‌دهد. شدت نوار جذبی گروههای سیلانول در ۹۶۵ cm<sup>-1</sup> تا حدودی کاهش یافت که نشان‌دهنده وجود پیوندهای جدید و کاهش درجه آزادی این گروه‌ها است. افزون بر این، طیف FTIR مربوط به نمونه TA-KCC<sup>-1</sup> حضور نوارهای جذبی شاخص در ۲۸۹۸ cm<sup>-1</sup> و ۲۹۴۵ cm<sup>-1</sup> را نشان داد



دارای ساختار سطحی با چروک‌های پیوسته سطحی هستند که مربوط به تراکم زیاد رشته‌های سیلیکایی مجاور هستند.

#### ۴-۳- بررسی هم‌زمان اثر pH اولیه و مقدار جاذب

در شکل ۴، تأثیر pH اولیه محلول Cd(II) بر رفتار جذبی این آنیون بر روی TA-KCC<sup>-1</sup> در سه مقدار متفاوت از جاذب آنیون (۲، ۵، و ۸ میلی‌گرم) در شرایط ثابت غلظت اولیه ۱۰۰ میلی‌گرم در لیتر، حجم محلول ۳۰ میلی‌لیتر، سرعت تکان ۲۰۰ دور در دقیقه، زمان ۳۰۰ دقیقه، و دما ۲۹۸ درجه سلسیوس بررسی شد. اسیدیتیه محلول می‌تواند بر مکان‌های جذب یون‌های فلزی در سطح جاذب و ساختار شیمیایی فلز در آب تأثیر زیادی داشته باشد. در pH‌های اسیدی، ظرفیت جذب و

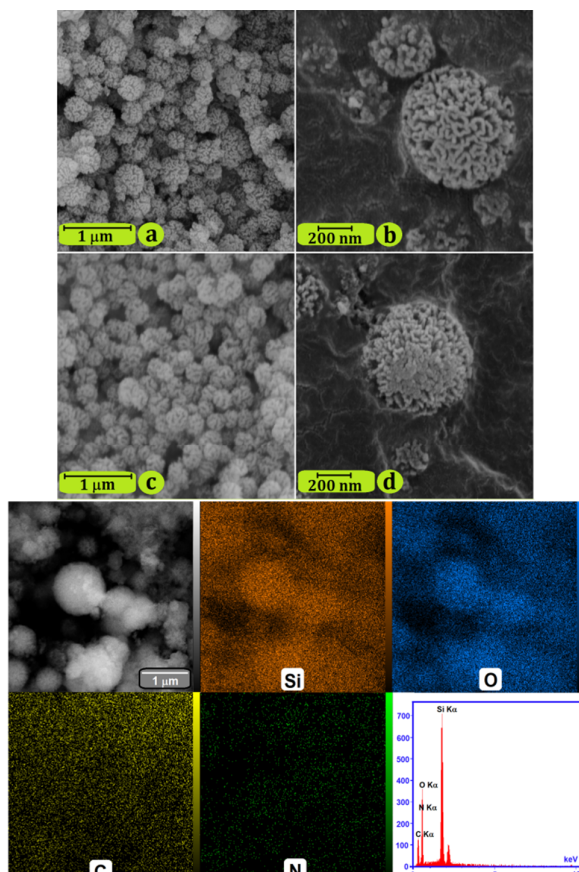


Fig. 3. FESEM images of KCC<sup>-1</sup> and TA-KCC-1 samples

شکل ۳- تصاویر FESEM مربوط به نمونه‌های KCC<sup>-1</sup> و TA-KCC<sup>-1</sup>

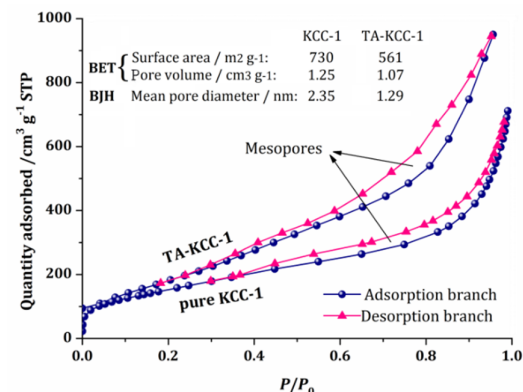


Fig. 2. N2 adsorption-desorption isotherm of KCC<sup>-1</sup> and TA-KCC<sup>-1</sup> samples

شکل ۲- ایزوترم‌های جذب-واجدب نیتروژن برای نمونه‌های TA-KCC<sup>-1</sup> و KCC<sup>-1</sup>

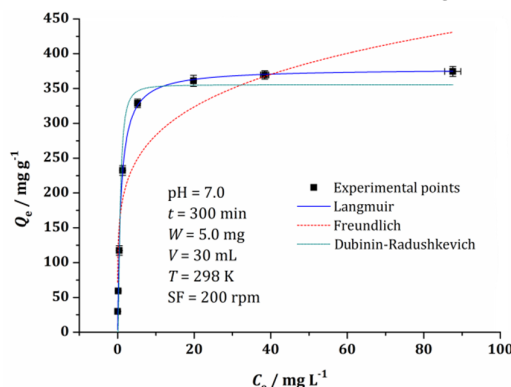
نمایش می‌دهد. ایزوترم‌های جذب-واجدب برای هر دو نمونه‌های KCC<sup>-1</sup> و TA-KCC<sup>-1</sup> الگوی نوع چهار با یک منحنی هیسترسیس نوع H1 بین فشارهای نسبی ( $P/P_0$ ) از ۰/۰۰ تا ۱/۰ را نمایش می‌دهند، که بیانگر طبیعت موزو-ساختار هر دو نمونه سنتز شده است. طبق ایزوترم‌های جذب-واجدب نیتروژن، مساحت سطحی (طبق معادله BET) برای TA-KCC<sup>-1</sup> و KCC<sup>-1</sup> به ترتیب ۷۳۰  $\text{m}^2 \text{ g}^{-1}$  و ۵۶۱  $\text{m}^2 \text{ g}^{-1}$  به دست آمدند و نیز حجم حفره برای این نمونه‌ها نیز به ترتیب برابر  $1/25 \text{ cm}^3 \text{ g}^{-1}$  و  $1/07 \text{ cm}^3 \text{ g}^{-1}$  گزارش شد. اندازه حفره میانگین، طبق روش BJH، برای نمونه‌های TA-KCC<sup>-1</sup> و KCC<sup>-1</sup> به ترتیب برابر  $2/35$  نانومتر و  $1/29$  نانومتر تخمین زده شد. این داده‌ها بهوضوح نشان دادند که پارامترهای ایزوترمی شامل مساحت سطح، حجم حفره، و اندازه حفره میانگین، پس از فرایند اصلاح سطح کاهش یافته‌اند. کاهش این پارامترهای مرتبط با بافت نمونه در طول فرایند اصلاح سطح مواد میکروپور و مزوپور امری رایج است.

#### ۴-۴- بررسی مورفولوژی نانوذره TA-KCC<sup>-1</sup> و KCC<sup>-1</sup>

تکیک‌های FESEM به منظور شناخت بهتر از خصوصیات سطحی، ریخت‌شناسی و ویژگی‌های فیزیکی نمونه به کار گرفته شدند. تصاویر FESEM مربوط به هر دو نمونه TA-KCC<sup>-1</sup> و KCC<sup>-1</sup> ذراتی کروی با اندازه ذرات یکدست را نشان می‌دهد (شکل ۳). هر دو نمونه مورفولوژی زیبای گل مانندی را به نمایش می‌گذارند که



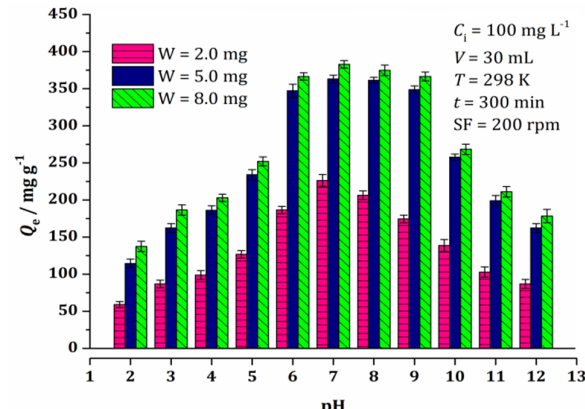
بر روی  $\text{TA-KCC}^{-1}$  استفاده شدند. شکل ۵ منحنی‌های ایزوترمی مربوط به جذب‌های  $\text{Cd(II)}$  بر روی جاذب  $\text{TA-KCC}^{-1}$  را نشان می‌دهد. مطالعات ایزوترمی نشان دادند که از بین معادلات دو پارامتری لانگمیر، فرندلیچ، و دایینین-راداشکویچ، مدل ایزوترمی لانگمیر بهترین فیت را با داده‌های تجربی از خود نشان داد و مقدار ظرفیت جذب محاسبه شده  $378 \text{ mg g}^{-1}$  را گزارش کرد که بسیار نزدیک به مقدار ظرفیت جذب تجربی  $375 \text{ mg g}^{-1}$  است.



**Fig. 5.** Experimental points related to the equilibrium adsorption for  $\text{Cd(II)}$  onto  $\text{TA-KCC}^{-1}$  and three nonlinear fitted isotherms of Langmuir, Freundlich, Dubinin-Radushkevich

شکل ۵- نقاط تجربی مربوط به جذب تعادلی برای جذب  $\text{Cd(II)}$  توسط  $\text{TA-KCC}^{-1}$  و سه ایزوترم فیت شده غیرخطی لانگمیر، فرندلیچ و دایینین-راداشکویچ

مقدار پارامترهای ایزوترمی حاصل از فیت شدن داده‌ها در جدول ۱ آمده است. پیروی رفتار جذبی آنیون‌های  $\text{Cd(II)}$  از مدل ایزوترمی لانگمیر می‌تواند به دلیل توزیع یکنواخت گروه‌های عاملی فعال بر روی سطح  $\text{TA-KCC}^{-1}$  در نقش سایت‌های جذبی فعال باشد، چون مدل لانگمیر فرض می‌کند که سطح جاذب یکنواخت و دارای سایت‌های جذبی منحصر به فرد و محدود است. یک ویژگی اساسی مدل لانگمیر را می‌توان با استفاده از ثابت بدون واحد  $R_L$  بیان کرد. ( $R_L$  همچنین به عنوان پارامتر تعادل یا فاکتور جداسازی شناخته می‌شود) معادله‌ای استخراج شده از مدل ایزوترمی لانگمیر است و مقدار این فاکتور ایزوترمی برابر با  $R_L = [1/(1 + K_{\text{L}})]$  است.  $K_{\text{L}}$  همان ثابت ایزوترمی لانگمیر است. مقدار پارامتر تعادل را می‌توان برای پیش‌بینی تمايل جذبی جاذب و



**Fig. 4.** The effect of pH and adsorbent dosage on  $\text{Cd(II)}$  removal

شکل ۴- تأثیر pH و مقدار جاذب بر جذب کادمیوم (II)

در صد حذف پایین برای هر دو جاذب مشاهده شد که دلیل آن پروتوناسیون زیاد گروه‌های عاملی هیدروکسیل و آمین دارای زوج الکترون‌های غیرپیوندی بر روی سطح جاذب در این pH هاست که منجر به ایجاد دافعه بین سطح جاذب با بار الکتریکی مثبت و کاتیون‌های  $\text{Cd(II)}$  است. جذب کاتیون‌های پروتون  $(\text{H}_3\text{O}^+)$  بر روی گروه‌های  $\text{OH}^-$ ,  $\text{NH}_2^-$ , و  $\text{NH}_3^+$  موجب تشکیل گروه‌های مثبت می‌شود که دارای بار مثبت هستند و موجب دفع کاتیون‌های فلزی  $(\text{Cd(II)})$  از سطح جاذب می‌شوند. با افزایش pH محلول در صد حذف آلاینده افزایش می‌یابد، به گونه‌ای که بیشترین مقدار حذف در  $\text{pH}=7$  مشاهده می‌شود. در  $\text{pH}=7$  در صد حذف در  $\text{pH}=7$  موجود در محلول با یون‌های فلزی تشکیل کمپلکس داده و حذف از طریق رسوب‌دهی نیز انجام می‌شود. بنابراین،  $\text{pH}=7$  و مقدار جاذب بهینه برای جذب  $\text{Cd(II)}$  بر روی جاذب  $\text{TA-KCC}^{-1}$  برای آزمایش‌های بعدی برابر مقدار ۵ گرم انتخاب شد.

### ۳- اثر غلظت اولیه و بررسی‌های ایزوترم‌های جذب

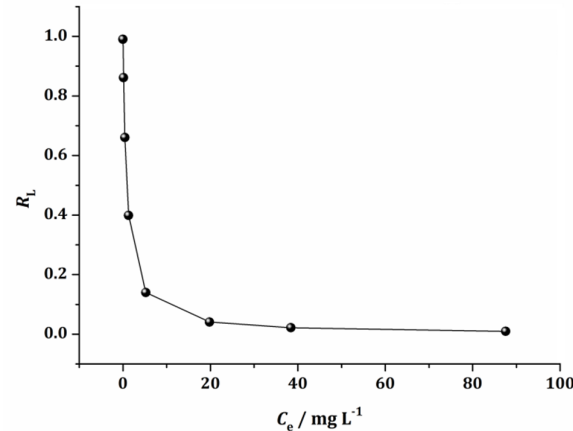
اثر غلظت اولیه بر روی رفتار جذبی  $\text{Cd(II)}$  بر روی  $\text{TA-KCC}^{-1}$  به وسیله آزمایش‌های جذبی تحت شرایط ثابت  $\text{pH}$  اولیه ۷، حجم محلول ۳۰ میلی‌لیتر، مقدار جاذب ۵ میلی‌گرم، سرعت تکان ۲۰۰ دور بر دقیقه، زمان  $300$  دقیقه، و دما  $298$  کلوین به دقت بررسی شد. معادلات ایزوترمی غیرخطی لانگمیر، فرندلیچ، دایینین-راداشکویچ، و ردیچ-پترسون با هدف پیش‌بینی رفتار جذبی

جدول ۱- مقدار عددی بدست آمده برای پارامترهای ایزوترمی لانگمیر، فروندلیچ، دابینین-راداشکویچ، و ردلیچ-پترسون و سیپس

**Table 1.** The values of isotherm parameters of Langmuir, Freundlich, Dubinin-Radushkevich, Redlich-Peterson & Sips

Isotherm models	Parameter $Q_{e,exp} / \text{mg g}^{-1}$	Value $375 \pm 5$
Langmuir	$Q_{\max} / \text{mg g}^{-1}$	378
	$K_L / \text{L mg}^{-1}$	1.180
	$R^2$	0.9930
Freundlich	$K_F / (\text{mg g}^{-1} (\text{mg L}^{-1})^{-1/n})$	181.1
	$n / \text{dimensionless}$	0.193
	$R^2$	0.8441
Dubinin-Radushkevich (D-R)	$Q_{\max} / \text{mg g}^{-1}$	355
	$K_{DR} / \text{mol}^2 \text{kJ}^{-2}$	$7.4 \times 10^{-5}$
	$R^2$	0.9545
Redlich-Peterson (R-P)	$K_{R-P} / \text{L g}^{-1}$	436
	$a_{R-P} / (\text{mg L}^{-1})^{-g}$	1.1282
	$g / \text{dimensionless}$	1.006
Sips	$R^2$	0.9917
	$Q_{\max} / \text{mg g}^{-1}$	379
	$K_S / (\text{mg L}^{-1})^{-1/nS}$	1.177
	$n_S / \text{dimensionless}$	0.9957
	$R^2$	0.9916

ردلیچ-پترسون بررسی شد. در ایزوترم ردلیچ-پترسون، وقتی پارامتر  $g$  برابر با ۱ باشد معادله کلی به فرم لانگمیر تبدیل می‌شود و وقتی که  $g$  برابر با صفر شود آنگاه معادله به فرم قانون هنری تبدیل می‌شود که نزدیکی زیادی به معادله فروندلیچ دارد. در فرایند جذب  $\text{Cd(II)}$  بر روی  $\text{TA-KCC}^{-1}$  مشاهده شد که مقدار پارامتر  $g$  برابر با ۱ به دست آمد که به روشنی نشان می‌دهد که مدل لانگمیر برای داده‌های تجربی به دست آمده برای  $\text{TA-KCC}^{-1}$  هم خوانی بسیار بیشتری نسبت به مدل فروندلیچ دارد. از این‌رو، ایزوترم ردلیچ-پترسون به خوبی پیروی فرایند جذب از مدل لانگمیر را تأیید می‌کند (شکل ۷).



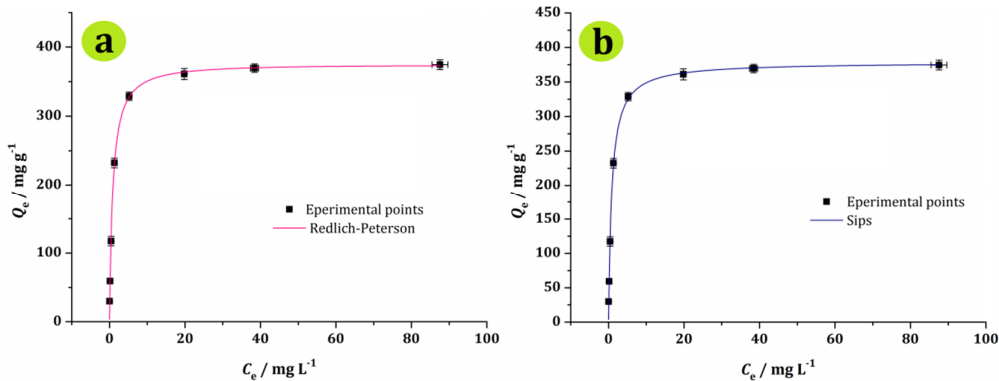
**Fig. 6.** The  $R_L$  values

شکل ۶- مقدار  $R_L$

**۳-۶- اثر زمان تماس و بررسی‌های سینتیک‌های جذب**  
تأثیر پارامتر زمان بر رفتار جذبی  $\text{Cd(II)}$  بر  $\text{TA-KCC}^{-1}$  در شرایط ثابت pH محلول ۷، حجم محلول ۳۰ میلی‌لیتر، مقدار جاذب ۵ میلی‌گرم، سرعت تکان ۲۰۰ دور در دقیقه، غلظت اولیه ۱۰۰ میلی‌گرم در لیتر، و دما ۲۹۸ درجه سلسیوس بررسی شد.  $\text{TA-KCC}^{-1}$  سرعت جذب بالایی را برای  $\text{Cd(II)}$  در ۲۰ دقیقه اول نشان داد و بدنبال آن، سیستم جذب به تدریج تا رسیدن به زمانی در حدود ۵۰ دقیقه به حالت تعادل رسید (شکل ۸). پارامترهای سینتیکی می‌توانند به درک بهتر ما از فرایند جذب

عملکرد آن نسبت به یک گونه جذب‌شونده به کار برد. اگر مقدار  $R_L$  بین صفر و ۱ باشد آنگاه جذب مطلوبی را داریم،  $R_L$  برابر با صفر نشان‌دهنده جذب برگشت‌ناپذیر است، مقدار  $R_L$  برابر با ۱ بیانگر فرایند جذب خطی، مقدار  $R_L$  بیشتر از یک جذبی نامطلوب را پیش‌بینی می‌کند. مقدار به دست آمده برای پارامتر تعادل  $R_L$  در فرایند جذب  $\text{Cd(II)}$  بر روی  $\text{TA-KCC}^{-1}$  بین اعداد صفر و ۱ به دست آمد که معرف محکمی بر یک فرایند جذب مطلوب است (شکل ۶). به منظور تأیید هر چه بیشتر نوع ایزوترم جذبی، مدل



**Fig. 7.** Nonlinear fitted isotherms of Redlich-Peterson and Sips

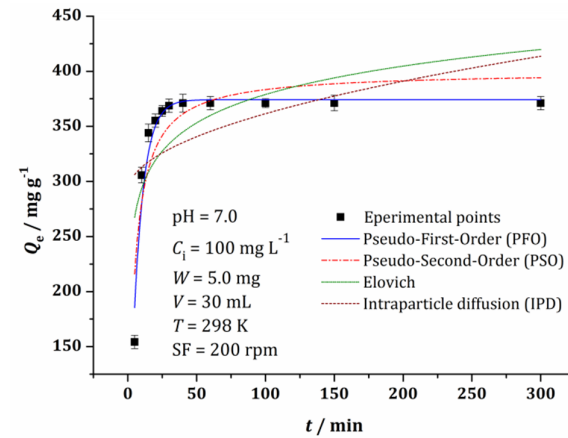
شکل ۷- منحنی ایزوترم غیرخطی مربوط به مدل ردلیچ-پترسون و منحنی سیپس

جدول ۲- مقدار بدست آمده برای مدل‌های سینتیکی شبدرجه اول، شبدرجه دوم، الویچ و نفوذ بین ذره‌ای

**Table 2.** Obtained values for pseudo-first order, pseudo-second order, Elovich, and intraparticle diffusion kinetic models

Kinetics models	Parameter $Q_{e,exp}/\text{mg g}^{-1}$	Value 371±7
Pseudo First Order (PFO)	$k_1/\text{min}^{-1}$	0.1369
	$Q_{e,cal}/\text{mg g}^{-1}$	374
	$R^2$	0.9540
Pseudo Second Order (PSO)	$k_2/\text{g mg}^{-1}\text{ min}^{-1}$	5.888
	$Q_{e,cal}/\text{mg g}^{-1}$	399
	$R^2$	0.7972
Elovich	$\alpha/\text{mg g}^{-1}\text{ min}^{-1}$	9953
	$\beta/\text{g mg}^{-1}$	0.026
	$R^2$	0.4238
Intraparticle Diffusion (IPD)	$K_{dif}/\text{mg g}^{-1}\text{ min}^{-0.5}$	7.12
	$C/\text{mg g}^{-1}$	290
	$R^2$	0.1619

به روشنی نشان می‌دهند که هر دو مدل شبدرجه اول و شبدرجه دوم مدل‌های بهتری برای پیش‌بینی سینتیک جذب Cd(II) هستند. در حالی که ظرفیت‌های جذب محاسبه شده برای هر دو مدل سینتیکی شبدرجه اول و شبدرجه دوم بسیار نزدیک به ظرفیت‌های جذب تجربی هستند، اما مدل شبدرجه اول دارای ضریب تعیین بیشتری ( $R^2 = 0.9440$ ) نسبت به مدل شبدرجه دوم ( $R^2 = 0.7972$ ) است. از این‌رو، می‌توان نتیجه گرفت که مدل شبدرجه اول بهترین مدل سینتیکی برای فیت شدن داده‌های تجربی از میان مدل‌های سینتیکی به کار برده شد برای جذب Cd(II) بر روی TA-KCC<sup>-1</sup> است.

**Fig. 8.** The effect of the initial concentration of Cd(II) on the equilibrium adsorption of Cd(II) and removal percentage

شکل ۸- تأثیر غلظت اولیه Cd(II) بر روی جذب تعادلی Cd(II) و درصد حذف

کمک کنند. از این‌رو، سینتیک جذب Cd(II) با بهره‌گیری از چهار مدل غیرخطی رایج و کارآمد، شامل مدل‌های شبدرجه اول، شبدرجه دوم، الویچ، و نفوذ بین ذره‌ای، بررسی شد. پارامترهای بدست آمده از این مدل‌ها در جدول ۲ نشان داده است. ضرایب همبستگی پایین بدست آمده برای مدل‌های الویچ ( $R^2 = 0.4238$ ) و IPD ( $R^2 = 0.1619$ ) نمی‌توانند معرف مدل مناسی برای پیش‌بینی رفتار سینتیک جذب اکسی آنیون‌های Cd(II) توسط TA-KCC<sup>-1</sup> باشند. در مدل‌های شبدرجه اول و شبدرجه دوم، مقدار بالای ضرایب همبستگی و همچنین نزدیکی مقدار ظرفیت‌های جذب محاسبه شده با ظرفیت‌های جذب تجربی



**جدول ۳- مقایسه عملکرد جاذب TA-KCC<sup>-1</sup> با جاذب‌های گزارش شده برای حذف Cd(II) از محیط آبی****Table 3.** Comparison of TA-KCC<sup>-1</sup> adsorbent performance with reported adsorbents for Cd(II) removal from aqueous media

Year	Reference	Metal	Adsorbent	Adsorption capacity (mg/g)
2009	Heidari et al.	Cd(II)	NH <sub>2</sub> -MCM-41	18.25
2013	Yang et al.	Cd(II)	NH <sub>2</sub> -MS	51.81
2015	Karthik and Meenakshi	Cd(II)	PGC	14.33
2015	Anbia et al.	Cd(II)	MDA-magMCM-48	114.08
2017	Wang et al.	Cd(II)	NH <sub>2</sub> -functionalized Zr-MOFs	177.35
2017	Thakur et al.	Cd(II)	PEI/MCM-41	156
2018	Kataria and Garg	Cd(II)	EDTA/ Fe <sub>3</sub> O <sub>4</sub> /SC	63.3
2018	Alizadeh et al.	Cd(II)	EDTA/Chitosan/TiO <sub>2</sub>	209.205
2018	Zhou et al.	Cd(II)	PG/L/SA	79.88
2019	Wu et al.	Cd(II)	P-MCS	71.53
2019	Zhang et al.	Cd(II)	MCS-MA-TEPA	251.22
2020	Soltani et al.	Cd(II)	TA-MSMs	251.67
2020	Shirzadeh et al.	Cd(II)	TiO <sub>2</sub> and Y-AL <sub>2</sub> O <sub>3</sub>	3.348
2020	Khan et al.	Cd(II)	MoS <sub>2</sub> /MBC	139
2020	Bao et al.	Cd(II)	Fe <sub>3</sub> O <sub>4</sub> /SiO <sub>2</sub> and GO	128.2
2020	Yang et al.	Cd(II)	EDA-MAH-APTES-NPSi	210.01
2020	Shafiof and Nezamzadeh-Ejhieh	Cd(II)	NCP-DTPA	138.9
2020	Naushad et al.	Cd(II)	TATS/AC	177.3
2020	Ain et al.	Cd(II)	HAp/Fe <sub>3</sub> O <sub>4</sub> /bentonite	310.36
2020	Dev et al.	Cd(II)	CFCCP-COOH	108.42
2020	This research	Cd(II)	TA-KCC-1	378

(KCC<sup>-1</sup>) موجود در ساختار آن پدیده مسدود شدن وجود ندارد و این باعث افزایش دسترسی آسان به مساحت سطحی می‌شود این در حالی است که در سایر جاذب‌ها که در ساختار آنها از مزوپور سیلیکاها (SBA-15 و MCM-41) استفاده شده است. به دلیل ساختار کانالی پیوسته و ممتد، پدیده مسدود شدن وجود دارد که این باعث کم شدن مساحت سطحی و کاهش قدرت جذبی جاذب می‌شود (Bayal et al., 2016, Polshettiwar et al., 2010).

به منظور مقایسه عملکرد این جاذب نسبت به جاذب‌های قبل از گزارش شده جدول ۳ نشان داده شده است. همان طور که می‌بینید جاذب TA-KCC<sup>-1</sup> در مقایسه با جاذب‌های گزارش شده نشان داد که دارای ظرفیت جذب بیشتری است که دلیل آن را می‌توان احتمالاً به ساختار رشتہ‌ای و اصلاح سطح مؤثر با گروه‌های تری‌آمینی فعال نسبت داد.

**۷-۳- مقایسه ظرفیت جذب جاذب TA-KCC<sup>-1</sup> با جاذب‌های دیگر**

در این پژوهش سیلیکای مزوپور رشتہ‌ای (KCC<sup>-1</sup>) عامل دارشده با گروه‌های سیلانی تری آمینی به منظور حذف کاتیون‌های سمی Cd(II) از محیط آبی استفاده شد. از آنجایی که فرایند جذب یک فرایند سطحی است، مساحت سطحی جاذب اهمیت زیادی در توسعه فناوری جذب دارد و در نتیجه یک پارامتر کلیدی است. جاذب TA-KCC<sup>-1</sup> استفاده شده در این کار به دلیل وجود مزوفره و میکروحفره‌های موجود بر روی رشتہ‌های KCC<sup>-1</sup> مساحت سطحی و حجم حفره‌ای زیادی در مقایسه با سایر جاذب‌های گزارش شده دارد.

جادب TA-KCC<sup>-1</sup> دارای کارایی بیشتری برای حذف کاتیون‌های کادمیوم از محیط آبی تحت شرایط بهینه آزمایشگاهی است. در جاذب TA-KCC<sup>-1</sup> به دلیل وجود مزوپور سیلیکای



#### ۴- نتیجه‌گیری

همچنین ظرفیت‌های جذبی تئوری محاسبه شده برای این دو مدل هم‌خوانی نزدیکی با داده‌های تجربی به دست آمده از آزمایش‌های سینتکی و ایزوترمی نشان دادند. زمان بهینه و بیشترین ظرفیت جذبی محاسبه شده (طبق مدل لانگمیر) برای حذف اکسی آنیون‌های  $\text{Cd}(\text{II})$  توسط  $\text{TA-KCC}^{-1}$  به ترتیب برابر ۵۰ دقیقه و ۳۷۸ میلی‌گرم بر گرم (حداکثر ظرفیت جذب تجربی برابر ۳۷۵ میلی‌گرم در گرم) به دست آمدند. مقایسه ظرفیت جذب این جاذب با جاذب‌های برپایه مواد مزوپور سیلیکای گزارش شده در جدول ۳، نشان داد که  $\text{TA-KCC}^{-1}$  دارای ظرفیت جذب بیشتری است که دلیل آن را می‌توان احتمالاً به ساختار رشتہ‌ای و اصلاح سطح مؤثر با گروه‌های تری‌آمینی فعال نسبت داد. داده‌های تجربی و محاسباتی نشان دادند که جاذب  $\text{TA-KCC}^{-1}$  گزینه نویدبخش و مناسبی برای حذف آلاینده، بسیار سمتی ( $\text{Cd}(\text{II})$ ) از محیط آبی است.

#### ۵- قدردانی

نویسنده‌گان پژوهش بر خود لازم می‌دانند که از دانشگاه لرستان و دانشگاه آزاد اسلامی واحد اراک به دلیل حمایت مالی در طول مدت پروژه، قدردانی کنند.

در این پژوهش،<sup>۱</sup>  $\text{TA-KCC}^{-1}$  از طریق روش دومرحله‌ای ساده و مؤثر تهیه شد که شامل مراحل ۱) روش هیدروترمال سل-ژل (با استفاده از اتوکلاو استنلس استیل مجهر به تلفون) برای تهیه مزوپور سیلیکا رشتہ‌ای<sup>۱</sup>  $\text{KCC}^{-1}$  خالص و ۲) اصلاح سطح<sup>۱</sup>  $\text{KCC}^{-1}$  با گروه‌های تری‌آمین (عامل کوپل‌کننده سیلانی) از طریق روش پسانتزی ساده و مؤثر. تکنیک‌های مختلف دستگاهی از جمله FTIR، آنالیز جذب-واجدب نیتروزن، FESEM، برای شناسایی ساختار و ویژگی‌های فیزیکی-شیمیایی نمونه‌های<sup>۱</sup>  $\text{KCC}^{-1}$  خالص و  $\text{TA-KCC}^{-1}$  استفاده شدند.<sup>۱</sup>  $\text{TA-KCC}^{-1}$  بدلیل حضور گروه‌های فعال آمینی و هیدروکسیل سطحی بر روی رشتہ‌های خود به عنوان جاذبی بالقوه برای جذب  $\text{Cd}(\text{II})$  از محیط آبی استفاده شد و نتایج تجربی و تئوری به دست آمده بیانگر توانایی زیاد این جاذب برای حذف آلاینده  $\text{Cd}(\text{II})$  است.

فیت کردن داده‌های تجربی توسط معادلات ایزوترمی و سینتیکی غیرخطی بیانگر این نکته بودند که فرایند جذب  $\text{Cd}(\text{II})$  بر روی جاذب  $\text{TA-KCC}^{-1}$  به ترتیب از مدل لانگمیر و شبه درجه اول پیروی می‌کند. (PFO)

#### References

- Ain, Q. U., Zhang, H., Yaseen, M., Rasheed, U., Liu, K., Subhan, S., et al. 2020. Facile fabrication of hydroxyapatite-magnetite-bentonite composite for efficient adsorption of Pb (II), Cd (II), and crystal violet from aqueous solution. *Journal of Cleaner Production*, 247, 119088.
- Alizadeh, B., Delnavaz, M. & Shakeri, A. 2018. Removal of Cd (II) and phenol using novel cross-linked magnetic EDTA/chitosan/TiO<sub>2</sub> nanocomposite. *Carbohydrate Polymers*, 181, 675-683.
- Anbia, M., Kargosha, K. & Khoshbooei, S. 2015. Heavy metal ions removal from aqueous media by modified magnetic mesoporous silica MCM-48. *Chemical Engineering Research and Design*, 93, 779-788.
- Bayal, N., Singh, B., Singh, R. & Polshettiwar, V. 2016. Size and fiber density controlled synthesis of fibrous nanosilica spheres (KCC-1). *Scientific Reports*, 6, 24888.
- Bao, S., Yang, W., Wang, Y., Yu, Y. & Sun, Y. 2020. One-pot synthesis of magnetic graphene oxide composites as an efficient and recoverable adsorbent for Cd (II) and Pb (II) removal from aqueous solution. *Journal of Hazardous Materials*, 381, 120914.
- Bolisetty, S., Peydayesh, M. & Mezzenga, R. 2019. Sustainable technologies for water purification from heavy metals: review and analysis. *Chemical Society Reviews*, 48(2), 463-487.
- Cashin, V. B., Eldridge, D. S., Yu, A. & Zhao, D. 2018. Surface functionalization and manipulation of mesoporous silica adsorbents for improved removal of pollutants: a review. *Environmental Science: Water Research and Technology*, 4(2), 110-128.
- Da'ha, E. 2017. Adsorption of heavy metals on functionalized-mesoporous silica: a review. *Microporous and Mesoporous Materials*, 247, 145-157.



- Dev, V., Baburaj, G., Antony, S., Arun, V. & Krishnan, K. A. 2020. Zwitterion-chitosan bed for the simultaneous immobilization of Zn (II), Cd (II), Pb (II) and Cu (II) from multi-metal aqueous systems. *Journal of Cleaner Production*, 255, 120309.
- Dinari, M., Soltani, R. & Mohammadnezhad, G. 2017. Kinetics and thermodynamic study on novel modified-mesoporous silica MCM-41/polymer matrix nanocomposites: effective adsorbents for trace CrVI removal. *Journal of Chemical and Engineering Data*, 62(8), 2316-2329.
- Fu, F. & Wang, Q. 2011. Removal of heavy metal ions from wastewaters: a review. *Journal of Environmental Management*, 92(3), 407-418.
- Heidari, A., Younesi, H. & Mehraban, Z. 2009. Removal of Ni (II), Cd (II), and Pb (II) from a ternary aqueous solution by amino functionalized mesoporous and nano mesoporous silica. *Chemical Engineering Journal*, 153(1-3), 70-79.
- Karthik, R. & Meenakshi, S. 2015. Removal of Pb (II) and Cd (II) ions from aqueous solution using polyaniline grafted chitosan. *Chemical Engineering Journal*, 263, 168-177.
- Kataria, N. & Garg, V. K. 2018. Green synthesis of  $\text{Fe}_3\text{O}_4$  nanoparticles loaded sawdust carbon for cadmium (II) removal from water: regeneration and mechanism. *Chemosphere*, 208, 818-828.
- Khan, Z. H., Gao, M., Qiu, W. & Song, Z. 2020. Properties and adsorption mechanism of magnetic biochar modified with molybdenum disulfide for cadmium in aqueous solution. *Chemosphere*, 126995.
- Khin, M. M., Nair, A. S., Babu, V. J., Murugan, R. & Ramakrishna, S. 2012. A review on nanomaterials for environmental remediation. *Energy and Environmental Science*, 5(8), 8075-8109.
- Leyva-Ramos, R., Fuentes-Rubio, L., Guerrero-Coronado, R. M. & Mendoza-Barron, J. 1995. Adsorption of trivalent chromium from aqueous solutions onto activated carbon. *Journal of Chemical Technology and Biotechnology*, 62(1), 64-67.
- Mance, G., 2012. *Pollution threat of heavy metals in aquatic environments*. Elsevier Science Publishers LTD, England.
- Mohan, D., Singh, K. P. & Singh, V. K. 2006. Trivalent chromium removal from wastewater using low cost activated carbon derived from agricultural waste material and activated carbon fabric cloth. *Journal of Hazardous Materials*, 135(1-3), 280-295.
- Mureseanu, M., Reiss, A., Stefanescu, I., David, E., Parvulescu, V., Renard, G. et al. 2008. Modified SBA-15 mesoporous silica for heavy metal ions remediation. *Chemosphere*, 73(9), 1499-1504.
- Naushad, M., Alqadami, A. A. & Ahamad, T. 2020. Removal of Cd (II) ion from aqueous environment using triaminotriethoxysilane grafted oxidized activated carbon synthesized via activation and subsequent silanization. *Environmental Technology and Innovation*, 18, 100686.
- Polshettiwar, V., Cha, D., Zhang, X. & Bassett, J. M. 2010. High-surface-area silica nanospheres ( $\text{KCC}^{-1}$ ) with a fibrous morphology. *Angewandte Chemie International Edition*, 49(50), 9652-9656.
- Prabhavathi, G., Karumanithy, M., Ayeshamariam, A., Sekar, N., Rafi, K. M., Nivetha, P. P., et al. 2019. Removal of heavy metals from waste water treatment using composite nanomaterials—a review. *Journal of Nanoscience Nanoengineering and Applications*, 9(1), 27-44.
- Shafiof, M. S. & Nezamzadeh-Ejhieh, A. 2020. A comprehensive study on the removal of Cd (II) from aqueous solution on a novel pentetic acid-clinoptilolite nanoparticles adsorbent: experimental design, kinetic and thermodynamic aspects. *Solid State Sciences*, 99, 106071.
- Shirzadeh, M., Sepehr, E., Rasouli Sadaghiani, M. H. & Ahmadi, F. 2020. Effect of pH, Initial concentration, background electrolyte, and Ionic strength on cadmium adsorption by  $\text{TiO}_2$  and  $\gamma\text{-Al}_2\text{O}_3$  nanoparticles. *Pollution*, 6(2), 223-235.
- Soltani, R., Marjani, A. & Shirazian, S. 2019a. Facile one-pot synthesis of thiol-functionalized mesoporous silica submicrospheres for Tl (I) adsorption: isotherm, kinetic and thermodynamic studies. *Journal of Hazardous Materials*, 371, 146-155.



- Soltani, R., Marjani, A. & Shirazian, S. 2019b. Shell-in-shell monodispersed triamine-functionalized SiO<sub>2</sub> hollow microspheres with micro-mesostructured shells for highly efficient removal of heavy metals from aqueous solutions. *Journal of Environmental Chemical Engineering*, 7(1), 102832.
- Tang, Y., Liang, S., Wang, J., Yu, S. & Wang, Y. 2013. Amino-functionalized core-shell magnetic mesoporous composite microspheres for Pb (II) and Cd (II) removal. *Journal of Environmental Sciences*, 25(4), 830-837.
- Thakur, A. K., Nisola, G. M., Limjoco, L. A., Parohinog, K. J., Torrejos, R. E. C., Shahi, V. K., et al. 2017. Polyethylenimine-modified mesoporous silica adsorbent for simultaneous removal of Cd (II) and Ni (II) from aqueous solution. *Journal of Industrial and Engineering Chemistry*, 49, 133-144.
- Wang, K., Gu, J. & Yin, N. 2017. Efficient removal of Pb (II) and Cd (II) using NH<sub>2</sub>-functionalized Zr-MOFs via rapid microwave-promoted synthesis. *Industrial and Engineering Chemistry Research*, 56(7), 1880-1887.
- Wu, D., Wang, Y., Li, Y., Wei, Q., Hu, L., Yan, T., et al. 2019. Phosphorylated chitosan/CoFe<sub>2</sub>O<sub>4</sub> composite for the efficient removal of Pb (II) and Cd (II) from aqueous solution: adsorption performance and mechanism studies. *Journal of Molecular Liquids*, 277, 181-188.
- Wu, S. H., Mou, C. Y. & Lin, H. P. 2013. Synthesis of mesoporous silica nanoparticles. *Chemical Society Reviews*, 42(9), 3862-3875.
- Yang, Z., Chen, X., Li, S., Ma, W., Li, Y., He, Z., et al. 2020. Effective removal of Cd (II) from aqueous solution based on multifunctional nanoporous silicon derived from solar kerf loss waste. *Journal of Hazardous Materials*, 385, 121522.
- Zarei, F., Marjani, A. & Joshaghani, A. H., 2019. Triamino-anchored KCC<sup>-1</sup>: a novel and promising adsorbent for fast and highly effective aqueous CrVI removal. *Journal of Environmental Chemical Engineering*, 7(5), 103309.
- Zhang, H., Dang, Q., Liu, C., Yu, D., Wang, Y. & Pu, X., 2019. Fabrication of methyl acrylate and tetraethylenepentamine grafted magnetic chitosan microparticles for capture of Cd (II) from aqueous solutions. *Journal of Hazardous Materials*, 366, 346-357.
- Zhou, F., Feng, X., Yu, J. & Jiang, X. 2018. High performance of 3D porous graphene/lignin/sodium alginate composite for adsorption of Cd (II) and Pb (II). *Environmental Science and Pollution Research*, 25(16), 15651-15661.

